

## The Crosslinking of Chitosan Film Using Glutaraldehyde as a Crosslinking Agent

Rudklao PUTIVARANAT

Metallurgy and Materials Science Research Institute Chulalongkorn University

### Abstract

Chitosan is a biopolymer, it can be formed fiber and films. In the present study, chitosan was improved the wet strength by cross-linking that using glutaraldehyde as a crosslinking agent.

Crosslinked Chitosan films were characterized their chemical and mechanical properties. Crosslinking chitosan with glutaraldehyde produced a membrane with lower crystallinity and solubility and less water absorption, but better mechanical properties, especially at amount of glutaraldehyde  $3.0 \times 10^{-6}$  mole. When amount of glutaraldehyde increase beyond this point, chitosan films become brittle; and tensile strength and elongation decrease.

### การเกิดโครงร่างตาข่ายของแผ่นฟิล์มไคโตแซนโดยการใช้นำกลูตารัลดีไฮด์ เป็นสารช่วยในการเกิดโครงร่างตาข่าย

รัตเกล้า ภูติวรนาถ

สถาบันวิจัยโลหะและวัสดุ จุฬาลงกรณ์มหาวิทยาลัย

### บทคัดย่อ

ไคโตแซนเป็นพอลิเมอร์ธรรมชาติที่สามารถนำมาผ่านกระบวนการผลิตเป็นเส้นใยและแผ่นฟิล์มได้ งานวิจัยนี้ได้ทำการปรับปรุงสมบัติด้านความแข็งแรงเมื่อเปียกน้ำของแผ่นฟิล์มไคโตแซนด้วยการทำให้เกิดโครงร่างตาข่าย (Cross-linking) ซึ่งใช้สารละลายกลูตารัลดีไฮด์เป็นสารช่วยในการเกิดปฏิกิริยา (Crosslinking Agent)

แผ่นฟิล์มที่เตรียมได้นำมาทดสอบสมบัติทางเคมีและสมบัติทางกล พบว่าความเป็นผลึกการละลายใน กรดอะซิติก และความสามารถในการดูดซึมน้ำของแผ่นฟิล์มลดลงเมื่อปริมาณกลูตารัลดีไฮด์เพิ่มขึ้น และเมื่อนำมาทดสอบความทนแรงดึงทั้งขณะแห้งและเปียกน้ำ พบว่าแผ่นฟิล์มจะทนต่อแรงดึงได้มากขึ้นเมื่อปริมาณกลูตารัลดีไฮด์เพิ่มขึ้นจนถึงปริมาณ  $3.0 \times 10^{-6}$  โมล หลังจากนั้นเมื่อเพิ่มปริมาณกลูตารัลดีไฮด์จะทำให้แผ่นฟิล์มเปราะ ความทน แรงดึง และความยืดลดลง

### คำนำ

ไคโตแซนเป็นอนุพันธ์ของไคตินที่แยกได้จากเปลือกกุ้ง มีชื่อทางเคมีว่า Poly- $\beta$ -(1,4)-2-amino-2-deoxy-D-glucose ไคโตแซนเกิดจากการกำจัดหมู่แอสเติลในไคตินออก (Deacetylation) โดยที่หมู่แอสเติลตรงคาร์บอนตำแหน่งที่สองจะถูกตัดออกเหลือเป็นหมู่เอมีนซึ่งทำให้ไคโตแซนมีสมบัติเป็น Polycationic ไคโตแซนสามารถนำไปประยุกต์ใช้ในงานด้านต่างๆได้อย่างกว้างขวาง แต่ในการนำไปใช้งาน

จริงนั้นอาจพบว่าไคโตแซนมีสมบัติบางอย่างไม่เป็นไปตามต้องการดังนั้นจึงมีการเติมสารเคมีบางชนิดเพื่อช่วยปรับปรุงสมบัติเหล่านั้นเช่น การเติม Plasticizers หรือ Additives หรือการปรับปรุงโครงสร้างทางเคมีของไคโตแซนโดยการทำให้เกิดโครงร่างตาข่าย (Cross-linking) ในสายโซ่โมเลกุล, การทำกราฟโคพอลิเมอร์เช่น เป็นต้น

### วัตถุดิบและสารเคมี

1. ไคโตแซน ที่มี % Deacetylation=78
2. กลูตารัลดีไฮด์
3. กรดอะซิติก
4. กรดไฮโดรคลอริก
5. โซเดียมไฮดรอกไซด์

### อุปกรณ์และเครื่องมือการทดลอง

1. เพลตกระຈกขนาด 12 นิ้ว x 5 นิ้ว
2. pH-Meter
3. Hot Plate ชนิดที่มี Magnetic Stirrer
4. Instron Universal Tester
5. X-Ray Diffractometer

### วิธีการทดลองและผลการทดลอง

#### 1. การเตรียมแผ่นฟิล์มไคโตแซนที่เกิดโครงร่างตาข่าย

- 1.1 นำไคโตแซน 1 กรัม มาละลายในกรดอะซิติก ความเข้มข้นร้อยละ 1.5 โดยปริมาตร ปริมาตร 50 มิลลิลิตร

1.2 เติมน้ำกลั่นละลายกลูตารัลดีไฮด์ปริมาณ  $3.0 \times 10^{-7}$  -  $9.0 \times 10^{-4}$  โมลต่อไคโตแซน 1 กรัม

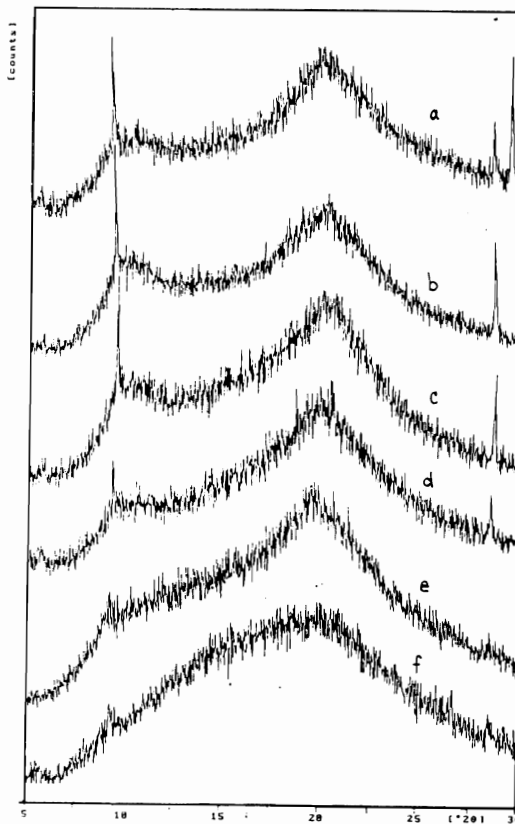
1.3 เทสารละลายไคโตแซนลงบนเพลตกระຈก และทิ้งแผ่นฟิล์มให้แห้งที่อุณหภูมิห้อง

1.4 ทำการ Neutralized แผ่นฟิล์มด้วยสารละลายโซเดียมไฮดรอกไซด์และล้างด้วยน้ำกลั่น

#### 2. การทดสอบความเป็นผลึก

เตรียมแผ่นฟิล์มให้มีความหนา 30 ไมครอน และทดสอบด้วยเครื่อง X-Ray Diffractometer จะได้ Diffractogram ดังแสดงในรูปที่ 1

จาก Diffractogram แสดงให้เห็นว่าไคโตแซนมีความเป็นผลึกสูงกว่าไคโตแซนที่เกิดโครงร่างตาข่ายโดยปริมาณของกลูตารัลดีไฮด์ที่ใช้เพิ่มมากขึ้นจะทำให้ความเป็นผลึกน้อยลงตามไปด้วย



รูปที่ 1. X-Ray Diffractogram ของไคโตแซนและไคโตแซนที่เกิดโครงร่างตาข่าย ปริมาณกลูตารัลดีไฮด์(โมล) ต่อไคโตแซน 1 กรัม :

(a) 0, (b)  $3.0 \times 10^{-7}$  (c)  $3.0 \times 10^{-6}$ , (d)  $3.0 \times 10^{-5}$ , (e)  $3.0 \times 10^{-4}$ , (f)  $9.0 \times 10^{-4}$

3. การทดสอบการละลาย

นำแผ่นฟิล์มมาแช่ในกรดอะซิติกที่มีความเข้มข้น ร้อยละ 1, 5, 10 และ 50 โดยปริมาตร ที่อุณหภูมิ 37 องศาเซลเซียส เป็นเวลา 24 ชั่วโมง ให้ผลการทดสอบดังแสดงในตารางที่ 1

4. การทดสอบความสามารถในการดูดซึมน้ำ

นำแผ่นฟิล์มที่อบภายใต้สุญญากาศที่อุณหภูมิ 60 องศาเซลเซียส เป็นเวลา 48 ชั่วโมง มาชั่งน้ำหนัก ( $W_d$ ) จากนั้นนำไปแช่ในน้ำกลั่นที่อุณหภูมิ 37 องศาเซลเซียส เป็นเวลา 48 ชั่วโมง ชั่งน้ำหนักเปียก ( $W_w$ ) คำนวณหาความสามารถในการดูดซึมน้ำดังสมการ

$$\text{Water Absorption (\%)} = \frac{W_w - W_d}{W_d} \times 100$$

จากตารางที่ 2 พบว่าเมื่อโคโตแซนเกิดโครงร่างตาข่ายจะมีความสามารถในการดูดซึมน้ำลดลงโดยความสามารถในการดูดซึมน้ำจะลดลงเมื่อมีการเพิ่มปริมาณสารช่วยในการเกิดปฏิกิริยาซึ่งทำให้โคโตแซนมีความหนาแน่นของโครงร่างตาข่ายในสายโซ่โมเลกุลมากขึ้นเนื่องจากปริมาณของกลูตารัลดีไฮด์ที่เพิ่มขึ้นสามารถไปเกิดพันธะเชื่อมโยงกับหมู่เอมีนในโคโตแซนได้มากขึ้น

**ตารางที่ 1** ผลการทดสอบการละลายในกรดอะซิติกความเข้มข้นต่าง ๆ ของแผ่นโคโตแซนและโคโตแซนที่เกิดโครงร่างตาข่าย

แผ่นฟิล์มตัวอย่าง ปริมาณกลูตารัลดีไฮด์ (โมล)ต่อโคโตแซน 1 กรัม	ความเข้มข้นกรดอะซิติก (%v/v)			
	1	5	10	50
โคโตแซน	++	++	++	++
3.0 x 10 <sup>-7</sup>	++	++	++	++
6.0 x 10 <sup>-7</sup>	++	++	++	++
9.0 x 10 <sup>-7</sup>	++	++	++	++
3.0 x 10 <sup>-6</sup>	++	++	++	++
6.0 x 10 <sup>-6</sup>	++	++	++	++
9.0 x 10 <sup>-6</sup>	++	++	++	++
3.0 x 10 <sup>-5</sup>	++	++	++	++
6.0 x 10 <sup>-5</sup>	+	+	+	++
9.0 x 10 <sup>-5</sup>	*	*	*	*
3.0 x 10 <sup>-4</sup>	-	-	-	-
6.0 x 10 <sup>-4</sup>	-	-	-	-
9.0 x 10 <sup>-4</sup>	-	-	-	-

หมายเหตุ ++ = ละลายหมด  
 + = ละลายบางส่วน  
 \* = ไม่ละลายแต่เกิดการบวมตัว (Swelling)  
 - = ไม่ละลายและไม่เกิดการบวมตัว

## ตารางที่ 2 ผลการดูดซึมน้ำของแผ่นฟิล์มโคโตนและโคโตนที่เกิดโครงร่างตาข่าย

แผ่นฟิล์มตัวอย่าง ปริมาณกลูตารัลดีไฮด์ (โมล)ต่อโคโตน 1 กรัม	การดูดซึมน้ำ (%)
โคโตน	156.37
$3.0 \times 10^{-7}$	155.17
$6.0 \times 10^{-7}$	152.43
$9.0 \times 10^{-7}$	151.34
$3.0 \times 10^{-6}$	149.35
$6.0 \times 10^{-6}$	150.27
$9.0 \times 10^{-6}$	147.07
$3.0 \times 10^{-5}$	144.13
$6.0 \times 10^{-5}$	141.34
$9.0 \times 10^{-5}$	137.49
$3.0 \times 10^{-4}$	128.00
$6.0 \times 10^{-4}$	121.51
$9.0 \times 10^{-4}$	111.77

### 5. การทดสอบความทนแรงดึงและความยืด

เตรียมแผ่นฟิล์มให้มีความหนา  $0.030 \pm 0.002$  มิลลิเมตร ขนาด  $5 \times 65$  มิลลิเมตร นำมาทดสอบความทนแรงดึงและความยืดทั้งขณะแห้งและเปียกน้ำด้วยเครื่อง Instron Universal Tester ที่มีขนาด Load Cell 5 กิโลนิวตัน ระยะ Gage Length 20 มิลลิเมตร และอัตราเร็วในการดึง 10 มิลลิเมตรต่อนาที

จากตารางที่ 3 จะเห็นได้ว่าความแข็งแรงทั้งขณะแห้งและเปียกน้ำของแผ่นฟิล์มมีแนวโน้มเพิ่มขึ้นตามการเพิ่มปริมาณกลูตารัลดีไฮด์โดยที่ความเข้มข้นของกลูตารัลดีไฮด์เท่ากับ  $3.0 \times 10^{-6}$  โมลต่อกรัม โคโตนจะได้ค่าความแข็งแรงและความยืดของแผ่นฟิล์มสูงสุด แผ่นฟิล์มสามารถทนต่อแรงดึงขณะเปียกได้เพิ่มขึ้นเกือบ

70% เมื่อเทียบกับแผ่นฟิล์มที่ไม่เกิดโครงร่างตาข่าย แต่เมื่อใช้ปริมาณกลูตารัลดีไฮด์เพิ่มมากขึ้นกว่านี้จะทำให้ความแข็งแรงและความยืดลดลง และจะสังเกตได้ว่าที่ความเข้มข้นของกลูตารัลดีไฮด์มากกว่า  $1.5 \times 10^2$  โมลต่อกรัมโคโตน แผ่นฟิล์มจะมีความแข็งแรงเมื่อเปียกต่ำกว่าแผ่นฟิล์มโคโตนที่ไม่เกิดโครงร่างตาข่าย ส่วนความยืดของแผ่นฟิล์มทั้งขณะแห้งและเปียกน้ำนั้นพบว่าที่ความเข้มข้นของกลูตารัลดีไฮด์มากกว่า  $3.0 \times 10^{-5}$  โมลต่อกรัมโคโตน แผ่นฟิล์มจะมีความยืดลดลง ทั้งนี้เนื่องจากเมื่อปริมาณของกลูตารัลดีไฮด์เพิ่มมากขึ้นจะทำให้โคโตนสามารถเกิดโครงร่างตาข่ายได้ดี ทำให้ได้แผ่นฟิล์มที่มีความหนาแน่นของโครงร่างตาข่ายสูงทำให้แผ่นฟิล์มมีลักษณะเปราะ

**ตารางที่ 3** ผลการทดสอบความทนต่อแรงดึง และความยืดเมื่อแห้งและเปียกน้ำของแผ่นฟิล์มไคโตแซน ที่เกิดโครงร่างตาข่าย ที่ความเข้มข้นของกลูตารัลดีไฮด์ต่างๆ

แผ่นฟิล์มตัวอย่าง ปริมาณกลูตารัลดีไฮด์ (โมล)ต่อไคโตแซน 1 กรัม	ความทนต่อแรงดึง (MPa)		ความยืด (%)	
	แห้ง	เปียก	แห้ง	เปียก
ไคโตแซน	60.875	14.261	19.302	59.918
$3.0 \times 10^{-7}$	69.462	7.695	6.635	48.686
$6.0 \times 10^{-7}$	82.115	11.694	13.151	65.952
$9.0 \times 10^{-7}$	81.812	10.681	19.386	69.251
$1.5 \times 10^{-6}$	81.839	12.734	21.370	75.236
$3.0 \times 10^{-6}$	99.789	21.160	38.135	107.935
$6.0 \times 10^{-6}$	99.067	18.570	35.869	100.819
$9.0 \times 10^{-6}$	96.608	19.693	42.437	96.853
$1.5 \times 10^{-5}$	91.658	13.946	34.902	82.135
$3.0 \times 10^{-5}$	72.525	8.774	16.669	55.736
$6.0 \times 10^{-5}$	73.389	5.450	11.118	32.735
$9.0 \times 10^{-5}$	71.261	5.185	8.100	30.785
$3.0 \times 10^{-4}$	70.172	4.160	8.253	13.253
$6.0 \times 10^{-4}$	68.900	3.823	3.167	9.022
$9.0 \times 10^{-4}$	67.776	4.230	3.168	6.835
$12.0 \times 10^{-4}$	67.789	4.167	3.417	3.252

### สรุปผลการทดลอง

การเกิดโครงร่างตาข่ายทำให้ไคโตแซนมีสมบัติทางเคมีและสมบัติทางกลเปลี่ยนไปโดยไคโตแซนจะมีความเป็นผลึก ความสามารถในการละลายในกรดอะซิติกและการดูดซึมน้ำลดลง นอกจากนี้การเกิดโครงร่างตาข่ายยังช่วยปรับปรุงสมบัติต้านความแข็งแรงของแผ่นฟิล์มไคโตแซนทั้งขณะแห้ง และเปียกน้ำซึ่งที่

ปริมาณกลูตารัลดีไฮด์เท่ากับ  $3.0 \times 10^{-6}$  โมลต่อไคโตแซน 1 กรัม จะให้ความแข็งแรงเมื่อแห้งและเปียกน้ำและความยืดดีที่สุด แต่เมื่อความเข้มข้นของกลูตารัลดีไฮด์มากกว่านี้จะทำให้ความแข็งแรงเมื่อเปียกน้ำลดต่ำลง แผ่นฟิล์มจะมีสมบัติเปราะและไม่ยืด

**เอกสารอ้างอิง**

- Kurita, K., Koyama, Y. and Taniguchi, A. 1986. Studies on chitin. IX. Crosslinking of water - soluble chitin and evaluation of the products as adsorbents for cupric ion. *Journal of Applied Polymer Science*. 31 : 1169-1176.
- Kurita, K., Koyama, Y. and Taniguchi, A. 1986. Studies on chitin. X. Homo - geneous cross - linking of chitosan for enhanced cupric ion adsorption. *Journal of Applied Polymer Science*. 31 : 1951-1954.
- Lee, Y. M., Kim, J. H., Kim, J. Y. and Kim K. Y. 1992. Properties and swelling characteristics of cross-linked poly(vinyl alcohol) / chitosan blend membrane. *Journal of Applied Polymer Science*. 45 : 1711-1717.
- Lee, Y.M., Nam, S.Y. and Kim, J.H. 1992. Pervaporation of water-ethanol through poly (vinyl alcohol) / chitosan blend membrane. *Polymer Bulletin*. 29 : 423-429.
- Muzzarelli, R. A. A. 1977. *Chitin*. Oxford:Pergamon Press,
- Nakatsuka, S. and Andrad, A.L. 1992. Permeability of vitamin B - 12 in chitosan membranes. Effect of crosslinking and blending with poly (vinyl alcohol) on permeability. *Journal of Applied Polymer Science*. 44: 17-28.
- Robert, G.A.F. and Taylor, K.E. 1989. The formation of gels by reaction of chitosan with glutaraldehyde. *Makromolulare Chemie*. 190 : 951 - 960.
- Thacharodi, D. and Panduranga, R.K. 1993. Propranol hydrochloride release behaviour of crosslinked chitosan membranes. *Journal of Chemical Technology and Biotechnology*. 58 : 177-181.
- Wei, Y. C., Hudson, S. M. Mayer, J. M. and Kaplar, D.L. 1992. The crosslinking of chitosan fibers. *Journal of Polymer Science*. 30 : 2187 - 2193.